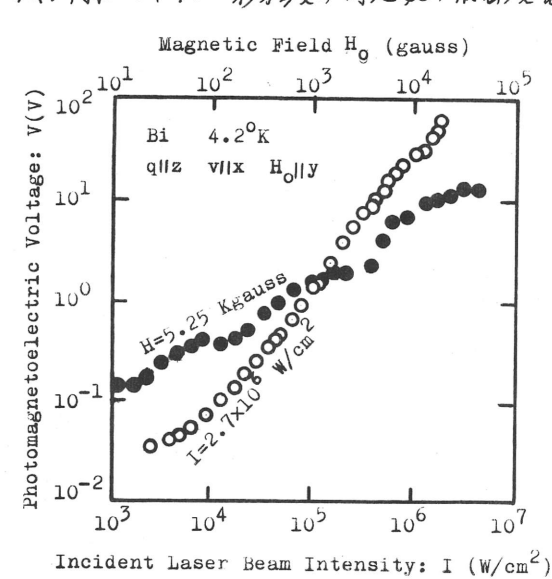
4-1 Biの非線型PM E効果と高周披信号発振

東北大学金研, 希賴哲郎, 中名生 充, 仁科雄一郎

外部磁場中に、方かれた別単結晶(残留比松抗比 P(300%)/P(42%)=200) E. 42°K、クケッK および300°KでQスイッチNdガラスレーザー名で思動するとPhotomagnetoelectric 効果(PME効果)によって横かよび縦が向に電場を生する。 測定10 Voigt および Faraday 配置について行け、た。Voigt 配置の場合の一例を 第1 图に示す。binary 軸(x)方向に測定された電圧、V. は bisectrix軸(Y)方向の 外部磁場Ho, およびtrigona/軸(Z)方何に入射したレーザーバルスの尖頭出力密度I に対し、近似的に V=をHoTaのはる関係によって表かてれる。(たけ試料の形状と 温度による定数)このようなHatsよびIについての非線型性は通常の光源の強度 領域では観測されていないかこの特性は電子の帯間遷移が誘起されるし点付近の関 方性、非放物面特性方よび磁気抵抗効果によって準定量的に説明できる。同じ、結晶軸 方何のレーザー入射光に対して,磁場をFaraday配置に加之に場合、×方何の電圧 はした付近における易動度テンソルの非対角線放分のみの寄与によって生ずる。そ の大きまは同じ磁場および入射光強度に対し Voigt 配置の場合より、動約=梳りはい。 誘起電圧の時間的変化をZooMHzランクロスコープで単掃引撮影した一例を第2 图(の)に示す。電圧の立上りは殆どレーザーパルス光と同じな客特性を示すが、その 滅家特性は、10-8科程度の時定数の高密度電子一正外対励起領域と、10-6科程度の



第1図 Voigt 配置におけるPME 誘起電圧。 O即は外部磁場(上のスケール)依存性,●印は 入射光強度(下のスケール)依存性,試料の 形状はX,Y,Z方向に6.0X4.0X0.16 mm³

時定数の低密度励起領域とによって 特徴づけられる。従って少くとも二 つの異なる再結合機構がこの電子帯 間遷移に関与しているものと推定さ れる。誘起電圧の尖頭値のけらかよび I信存性はかかい I (~105(Wcm2)以 下)では、ほがVoigt配置の場合と 同じである。しかし、高い入射強度 領域では、服射点を試料表面上移動 うせると、これに入じて諸起電圧の符 号反転が見られる。その符号と、外 部磁場の方向および照射位置の関係 から、この入射強度領域ではThermo magnetic如果がPME効果に対して 無視できぬことがわかった。更にこ の領域で縦方何の誘起電圧には、第 ス回(b)のような高周波振動が観測さ れる。この発振現象は電子一正孔対 の高密度の配による拡散速度が音速

と同程度になる場合の不安定性に起因するものと多うられる。発振周報数は一般に 微方向の音速と、その方向の形状によって定まる英振周報数およびその高調液に近 い値を示す。

多然間試料についても Voigt 配置で同様の測定を行なった。そのPME誘起電圧

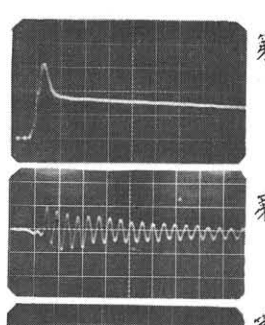
の大きさ、Ho、I依存性は単結晶試料の場合と殆ど同じであった。

上記のPMF効果と別の高い電気伝導度を利用するとPMF該定電圧端子に種々の国路を接続することにより、各種の高周投信号を発生することができるが例えば、第3回はX方何の電圧端子に、クケス、同軸ケーブルを接続し、他端を1月の程度のインピーダンスで終端した場合、その両端での電圧を単掃引撮影したものである。等個国路によって表的すと、Bi結晶はレーザーバルスに同期したPMF電流源であり、同軸ケーブルは共振回路よりはみ負荷と見做される。観測まれた高周設信号は前記のFaraday配置において微方何に現的れる発振現象とは全く異かる原因によるものである。この場合の高周投発振周投数は外部支振回路の支振周投数によって定まるものであり、その選択に従って光信号を広帯域に亘る(VHFBを加坡)電気的信号に変換する可能性を示すものである。又、高周报信号の立上りの符号は外部磁場の振りを変化ませることにより、誘記電圧を半値中調整可能の単発パルス投程に変換することができた。

この実験に用いられたNd V-ザーの製作には東北電子産業<math>K.K 広瀬武男氏の御協力をいたがいた。

(文献等)

- 1) R. N. Zitter: Phys. Rev. Letters 14 (1965) 14.
- 2) 岩崎通信機株式会社製 SS 212 シンクロスコーフ。 かよび UP-21 高速度 撮影カメラ使用。
- 3) T. Fukase and Y. Nishina: To be published in the Proc. Int. Conf. on Low Temperature Physics, Kyoto, 1970.
- 4) Y. Nishina and T. Fukase: Digest of Int. Conf. Quantum Electronics, Kyoto, 1970. P. 128 にかいて一部報告。



第2図(a) Faraday 配置における X 方向の PM E電圧の 200 MHz シンクロスコップ 波型。横軸:0.1 μ秒/11 12 一級軸: 10 mV/11 12 接続ケーブルインピーダンス, 75 Ω 整合終端。外部磁場:Ho=1.1 Kgauss 入射光最高距度:I=4 MW/cm², 温度 4,2 °K。

第2図(b) Faraday 配置における Z(談)方向の PM巨発振信号のシンクロスユークで渡型。横軸:50カルが/日盛, 談軸:5mV/11盤 I=0.82 MW/cm², 他は(a)×同じ。

第3回 第2回(a)にかける接続ケーブルの終端抵抗を1MQと (たばあい)、その両端にあらわれる高周波電圧。縦,横軸の スケールかよびその他の條件は第2回(a)と同じ。